

PAPER DETAILS

TITLE: 2-ALLIL-6,6'-(3,3'-DIMETOKSI[1,1'-BIFENİL]-4,4'-DIYIL)BIS(NITRILOMETILİDEN)]BIS-FENOLÜN MIKRODALGA ve GELENEKSEL ISITMA YOLUYLA SENTEZİ, YAPI KARAKTERİZASYONU ve TAUTOMERİK ÖZELLİKLERİNİN DENEYSEL ve TEORİK OLARAK İNCELENMESİ

AUTHORS: Emel ERMİS, Halil BERBER

PAGES: 81-96

ORIGINAL PDF URL: <https://dergipark.org.tr/tr/download/article-file/35661>

ARA TIRMA MAKALE / RESEARCH ARTICLE

Emel ERM^{1*}, Halil BERBER¹

2-ALLYL-6,6'-(3,3'-BIPHENYL)-4,4'-DIYL)BIS(NITRILOMETHYLDENE)BIS-PHENOL AND CHARACTERIZATION OF ITS TAUTOMERIC PROPERTIES
NCELENMES
ÖZ

2-Allil-6,6'-(3,3'-dimetoksi[1,1'-bifenil]-4,4'-diyil)bis(nitrilometiliden)bis-fenol (**3**) Schiff bazı bile i i, 3-allilsalisilaldehitin (**1**) o-dianisidin (**2**) ile kondenzasyon reaksiyonundan geleneksel ısıtma ve mikrodalga-1 inlama yöntemi kullanılarak sentezlendi. Bile ik (**3**)'ün kimyasal yapısı element analizi, FTIR, ¹H NMR, ve ¹³C NMR teknikleri kullanılarak karakterize edildi. Bile i in farklı organik çözücülerde fenol-imin (O-H...N) ve keto-amin (O...H-N) tautomerik dengeleri, UV-görünür bölge spektrofotometrik yöntem kullanılarak incelendi ve keto-amin yüzdeleri hesaplandı. Ayrıca, bile i in geometrisi, farklı çözücülerdeki fenol-imin ve keto-amin tautomerlerinin enerjisi, molekülü O-H...N ve O...H-N hidrojen ba uzunlu u, UV-görünür bölge uyarılma enerjisi ve ossilatör kuvveti DFT (B3LYP)/6-311+G(d,p) hesaplama yöntemiyle teorik olarak hesaplandı ve hesaplamalar deneysel sonuçlar ile kar ila tırıldı.

Anahtar Kelimler: : 3-Allilsalisilaldehit, o-Dianisidin, Mikrodalga-ışınlama yöntemi, Tautomeric denge, DFT.

**MICROWAVE ASSISTED and TRADITIONAL SYNTHESIS and
CHARACTERIZATION of 2-ALLYL-6,6'-(3,3'-DIMETHOXY[1,1'-BIPHENYL]-4,4'-
DIYL)BIS(NITRILOMETHYLDYNE)]BIS-PHENOL and EXPERIMENTAL and
THEORETICAL INVESTIGATION of ITS TAUTOMERIC PROPERTIES**

ABSTRACT

Schiff base compound 2-allyl-6,6'-(3,3'-dimethoxy[1,1'-biphenyl]-4,4'-diyil)bis(nitrilomethylidyne)bis-phenol (**3**) was synthesized using traditional heating and microwave-irradiation method with the condensation reaction of 3-allylsalicylaldehyde (**1**) and o-dianisidine (**2**). The chemical structure of compound (**3**) was characterized by elemental analysis, FTIR, ¹H NMR and ¹³C NMR techniques. The tautomeric equilibria (for phenol-imine O-H...N and keto-amine O... H-N tautomers) in various organic solvents were studied using UV-visible region spectrophotometric method and keto-amine percentages were calculated. Furthermore, the geometry of compound, the energies of phenol-imine and keto-amine tautomers in different organic solvents, intramolecular O-H...N and O...H-N hydrogen bond length, UV-visible excitation energy and oscillator strength were calculated with the theoretical calculation method DFT (B3LYP)/6-311+G(d,p) and calculations were compared with experimental results.

Keywords: 3-Allylsalicylaldehyde, o-Dianisidine, Microwave-irradiation method, Tautomeric equilibria, DFT.

¹. Anadolu Üniversitesi, Fen Fakültesi, Kimya Bölümü, 26470, Eskişehir, TÜRKİYE

*E-posta: eermis@anadolu.edu.tr

Geli : 28 Mayıs 2015 Düzeltme: 06 Haziran 2015 Kabul: 08 Haziran 2015

1.G R

Karbonil bile iklerinin primer aminlerle kondenzasyon reaksiyonlarından sentezlenen Schiff bazları (Schiff 1869), biyolojik ve farmakolojik aktiviteleri ile (Panneerselvam ve ark. 2010, Sen ve ark. 2010, Pandey ve ark 2011, Sharma ve ark. 2013), fotokromik, termokromik ve solvatokromik özelliklerinden (Cohen ve ark 1964, Hadjoudis 1981, Higelin ve Sixl 1983, Hadjoudis ve ark. 1987, Dürr ve Bouas-Laurent 1990, Zhao ve ark. 2001, Ohshima ve ark. 2004, Ahmed ve Kassem 2010, Sıdır ve ark. 2014) dolayı pek çok uygulama alanına sahip olan organik bile iklerin önemli bir sınıfını oluşturlar. Bu bile ikler antibiyotik, anti-alerjik, antiflojistik ve anti-tümör grubu önemli ilaçların sentezinde bağıntılı maddesi olarak kullanılmaktadır (Layer 1963). Bazı Schiff bazları ve metal kompleksleri ise renkli maddeler oldukları için endüstriyel olarak, boyası ve pigment üretiminde de uygulamalara sahiptir (Taggi ve ark. 2002). Ayrıca son yıllarda, Schiff bazlarının Cu^{2+} , Mg^{2+} , Fe^{2+} , Al^{3+} gibi bazı metal iyonlarına karşı kemosensör özelliklerinin incelendiği çalışmaları ilgi giderek artmaktadır (Jayabharathi ve ark. 2012, Devaraj ve ark. 2012, Kim ve ark. 2012, Ye ve ark. 2013, Yang ve ark. 2013).

Diğer taraftan, farklı aminlerle salisilikdehit türevlerinden elde edilen 2-hidroksi Schiff bazlarının tautomerik özellikleri de yoğun bir şekilde incelenmektedir. Bu bile iklerin fenol-imin ($O-H...N$) ve keto-amin ($O...H-N$) tautomer dengelerinin belirlenmesi, fotokromik ve termokromik özelliklerinin araştırmasında önemli bir yer tutmaktadır (Kessisoglu ve ark. 1992, Hökelek ve ark. 1995, Hökelek ve ark. 2004, Bilge ve ark. 2009). Son yıllarda, 2-hidroksi Schiff bazlarının moleküller yapıları ile fenol-imin ve keto-amin tautomer dengelerinin DFT (Density Functional Theory) teknik kullanılarak hesaplanması ve deneySEL sonuçlar ile uyumunun incelenmesi üzerine çalışmaları hız kazanmıştır (Ogawa ve Harada 2003, Annaraj ve ark. 2014, Demirci lu ve ark. 2014a, Demirci lu ve ark. 2014b, Eshtiagh-Hosseini ve ark. 2014, Percino ve ark. 2015, Yıldız ve ark. 2015).

Schiff bazlarının geleneksel ısıtma yöntemiyle sentezleri, aminler ve aldehitlerin bir asit katalizörlüünde organik bir çözücü içerisinde kaynatılmasıyla gerçekleş tirilir. Bu yöntem, yüksek kaynama noktasına sahip

çözücülerin kullanılması nedeniyle çözüçünün uzakla tirilmesi ve ürün izolasyonu sorunu, nispeten uzun reaksiyon süreleri ve düşük ürün verimleri gibi dezavantajlara sahiptir (Sprung 1940, Gedye ve ark. 1986, Giguere ve ark. 1986, Aghayan ve ark. 2003, Lamiri ve ark. 2006, Aghera ve ark. 2015). Geleneksel organik reaksiyonlarda harici bir ısı kaynağı kullanılır ve ısı iletkenlik ile aktarılır. Yöntem, maddelerin ısı iletkenli ine bağlıdır ve reaksiyon kabı aıı ısınırken, reaksiyon karışımının sıcaklığı daha yüksektir. Dolayısıyla bu yöntemde, sisteme enerji transferi nispeten yavaş ve yetersizdir. Bu nedenle son zamanlarda, organik sentezlerde ısıtma için mikrodalga-1 inlama yönteminin kullanımı popüler hale gelmiştir (Loupy ve ark. 1998, Varma 1999, Lidström ve ark. 2001, Aghayan ve ark. 2003, Lamiri ve ark. 2006, Aghera ve ark. 2015). Mikrodalga-1 inlama yöntemi, polar moleküller ile mikrodalga enerjinin doğrudan etkileşimi ile etkin bir iç ısıtma sağlar. Reaksiyon kabı de il, direkt reaksiyon karışımı ıı içinde geleneksel sentez yöntemine göre daha verimli bir sentez yöntemidir. Ayrıca, çevre dostu, ekonomik ve hızlı bir yöntemdir (Gedye ve ark. 1986, Ayoubi ve ark. 1994, Bose ve Jayalakshmi 1999, Schwartz 2000, Lidström ve ark. 2001, Somani ve ark. 2010). Literatürde çeşitli Schiff bazi türevlerinin mikrodalga-1 inlama yöntemiyle sentezlerini ve yöntemin avantajlarını rapor eden çalışmaları sıkça yer almaktadır (Yang ve ark. 2002, Yang ve Sun 2006, Somani ve ark. 2010, Aghera ve ark. 2015). Ancak o-dianisidin türevi simetrik 2-hidroksi bis-Schiff bazlarının mikrodalga-1 inlama yöntemiyle sentezi ve tautomerik özelliklerinin hem deneySEL hem de teorik olarak incelenmesi üzerine çalışmaları rastlanmamıştır.

Bu çalışmada öncelikle, 3-allilsalisilikdehitin (1) o-dianisidin (2) ile kondenzasyon reaksiyonundan 2-allil-6,6'-(3,3'-dimetoksi[1,1'-bifenil]-4,4'-diyil)bis(nitrilometiliden)]bis-fenol (3) bileşiminin, hem geleneksel ısıtma hem de mikrodalga-1 inlama yöntemi kullanılarak sentezi amaçlanmıştır. Elde edilen simetrik 2-hidroksi Schiff bazi (3) ilk defa tarafımızdan sentezlenen orijinal bir moleküldür. Bileşimin kimyasal yapısı element analizi, FTIR, 1H NMR ve ^{13}C NMR teknikleri kullanılarak karakterize edilmişdir. Sentezlenen simetrik Schiff bazının farklı polaritelerdeki organik çözüçülerde tautomerik dengeleri, UV-görünür bölge

spektrofotometrik yöntem kullanılarak incelenmiş ve çözücülerdeki keto-amin yüzdeleri hesaplanmıştır. Ayrıca bile i in geometrisi ve farklı çözücülerdeki fenol-imin ve keto-amin tautomerlerinin enerjisi DFT hesaplama yöntemiyle teorik olarak hesaplanmıştır ve hesaplamalar deneyel sonuçlar ile karila tırılmıştır.

2. MATERİYAL VE YÖNTEM

2.1. Madde ve Malzemeler

Sentezlerde kullanılan organik çözüçüler (Aldrich marka) ticari olarak satın alınmıştır ve yeniden safla tırıldıktan sonra 4A moleküller elektronik maddelerin sentezinde kullanılan analitik saflıktaki di er kimyasal maddeler (Aldrich, Merck, Fluka marka) ticari olarak satın alınmıştır ve hiç bir ön i leme tabi tutulmadan doğrudan kullanılmıştır. Balon ve so utular ile kullanılan di er cam malzemeler borosilikattan yapılmış ısıya dayanıklı malzemelerdir.

2.2. Kullanılan Cihazlar

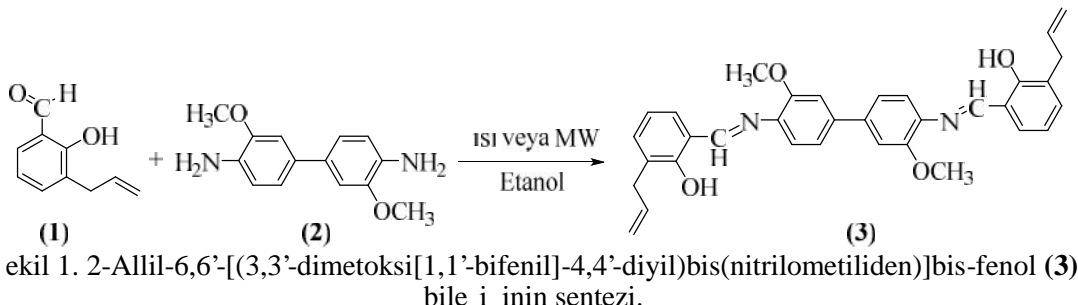
Bile ik (3)'ün erime noktası Sanyo Gallenkamp marka erime noktası tayin cihazı kullanılarak belirlenmiştir.

Mikrodalga ısıtma, 2450 MHz'de sürekli 1 inlama yapan, tek oyuklu Discover (CEM) marka mikrodalga cihazında yapılmıştır.

Bile ik (3)'ün farklı organik çözücülerdeki UV-görünür bölge analizleri SHIMADZU UV-3150 UV-VIS-NIR Spektrofotometre cihazı, kırmızı ötesi (IR) analizleri ise Perkin Elmer Spectrum 100 FTIR spektrometre cihazı ile yapılmıştır. ^1H - ^{13}C nükleer manyetik rezonans (NMR) spektrumları AÜB BAM'da bulunan 5 mm PABBO BB-ters e imli prob ile Bruker 500 MHz Ultrashield Spektrometre cihazında kaydedilmiştir. ^1H ve ^{13}C kimyasal kaymaları dötero-çözücü içindeki tetrametilsilana göre ölçülmüştür. Spektral yarılmalar; s, singlet (tekli); d, doublet (ikili); dd, double doublet (ikilinin ikilisi); t, triplet (üçlü); q, quartet (dörtlü); m, multiplet (çoklu); ve br, broad (geniş) olarak verilmiştir.

2.3. Sentez Yöntemi

Bu çalışmada, 3-allilsalisilaldehit (1) ile o-dianisidinin (2) kondenzasyon reaksiyonundan yararlanılarak 2-allil-6,6'-[(3,3'-dimetoksi[1,1'-bifenil]-4,4'-diyil)bis(nitrilometiliden)]bis-fenol (3) bile i in geleneksel ısıtma (**Yöntem A**) ve mikrodalga-1 inlama yöntemi (MW) (**Yöntem B**) kullanılarak sentezlenmiştir (ekil 1).



Yöntem A: o-Dianisidinin (2) (0,51 g 2,50 mmol) etanoldeki çözeltisine, 3-allilsalisilaldehitin (1) (0,81 g, 5,00 mmol) etanoldeki çözeltisi damlatma hunisi yardımıyla damla damla ilave edilmişdir. Aldehit ilavesi tamamlandıktan sonra reaksiyon karışımı geri so utucu altında 48 saat kaynatılmıştır. Reaksiyon tamamlandıktan sonra ince tabaka kromatografisi ile (1:2/etilasetat:hekzan karışımı) belirlendikten sonra, ısıtma sonlandırılmıştır. Çökken turuncu renkli katı ürün süzüldükten sonra birkaç kez etanol ile yıkandı, açık havada kurutulmuştur. Ürün 0,84 g, (verim % 75) elde edilmiştir.

Yöntem B: Basınca dayanıklı bir mikrodalga deney tüpünde o-dianisidin (2) (0,05 g, 0,205 mmol), 3-allilsalisilaldehit (1) (0,065 g, 0,41 mmol) ve 2 mL etanol karıştırılmıştır. Basınçlı tüp kapatıldıktan sonra tek oyuklu mikrodalga sentez cihazına yerle tırılmıştır. Uygun metot belirlendikten sonra, reaksiyon 10 dk. süre ile 5 Watt mikrodalga gücü altında 50 °C sıcaklıkta ısıtılmıştır. Reaksiyonun ilerleyi ince tabaka kromatografisi (1:2/etilasetat:hekzan karışımı) ile kontrol edilmiştir. Reaksiyon tamamlandıktan sonra çökken turuncu renkli katı ürün süzüldükten sonra birkaç kez etanol ile yıkandı, açık havada kurutulmuştur. Ürün 0,087 g (verim % 80) elde edilmiştir.

2-Allil-6,6'-(3,3'-dimetoksi[1,1'-bifenil]-4,4'-diyl)bis(nitrilometiliden)]bis-fenol (3)

E.n. 160-163 °C. FTIR (KBr, cm⁻¹) 3436 (O-H), 3070 (Ar. C-H), 2992, 2895, 2960 (C-H), 1613 (C=N), 1577, 1481 (Ar. C=C), 1462, 1447, 1394, 1247 (Ar-O-C), 1137, 1032, 912, 796, 750. ¹H NMR(500 MHz, DMSO-d₆) (ppm) 14,35 (s, 2H); 9,06 (s, 2H); 7,59 (³J=7,95 Hz, d, 2H); 7,51 (³J=7,68 Hz, d, 2H); 7,46-7,44 (m, 4H); 7,29 (³J=7,38 Hz, d, 2H); 6,94 (³J=7,52 Hz, t, 2H); 6,07-5,99 (m, 2H); 5,11-5,05 (m, 4H); 4,02 (s, 6H); 3,43-3,40 (m, 4H). ¹³C NMR (500 MHz, DMSO-d₆) (ppm) 163,97; 160,30; 154,51; 141,08; 137,93; 136,65; 134,48; 132,08; 128,59; 120,63; 120,01; 119,71; 116,95; 111,79; 56,88; 33,73. C₃₄H₃₂N₂O₄, hesaplanan C, 76,67; H, 6,06; N, 5,26; O, 12,02; bulunan C, 76,20; H, 5,709; N, 5,418.

2.4. Tautomer Hesaplama Yöntemi

Bile ik (3)'ün fenol-imin/keto-amin tautomer dengesi UV-görünür bölge spektrofotometrik yöntem kullanılarak incelenmiş tir (Hayvalı ve ark., 2003). Öncelikle

$$\% \text{Tautomer} = \frac{\lambda_{\max}' \text{daki (keto-amin) abs. değeri}}{\lambda_{\max}' \text{daki (keto-amin) abs. değeri} + \lambda_{\max}' \text{daki (fenol-imin) abs. değeri}} \times 100 \quad (1)$$

2.5. Teorik Hesaplama Yöntemi

Hesaplamlarda, CS ChemOffice Pro 12.0 for Microsoft Windows (CS ChemOffice Pro) ve Gaussian 09 (Gaussian 09, 2009) programları ve 2 Adet 6 çekirdekli Intel Core i7 980X i lemeç, 3,33GHz, L3 Cache 12 MB, LGA 1366 soket, X58 chipset i istasyonu kullanılmıştır. Bu çalışımda a a idaki hesaplama yöntemleri kullanılmıştır:

Moleküller ChemDraw programında çizilmişdir. ChemDraw programında çizilen her bir molekül tek tek Chem3D programına aktarıldıktan sonra minimize edilmiş Gaussian verileri (input dosyaları) elde edilmiştir. Moleküllerin hazırlanan Gaussian verileri (input dosyaları), Gaussian programında istenilen hesaplama sonuçlarını verecek uygun metodlar ve setler ilave edilerek düzenlenmiştir. Her bir moleküle ait hazırlanan Gaussiandataları ile Gaussian programında tek tek hesaplamaları yapılmıştır.

bile ik (3)'ün belirlenen organik çözümlerde (aseton, asetonitril, benzen, kloroform (CHCl₃), dimetilsülfoksit (DMSO), etilasetat ve tetrahidrofuran (THF)), 2x10⁻⁵ M deri imde çözeltileri hazırlanmıştır. İlk olarak hazırlanan bu çözeltilerin saf çözücü ortamında (nötr) UV-görünür bölge spektrumları kaydedilmiştir. Daha sonra, kuartz küvete alınan her bir çözelti ve saf çözücü üzerine yakla 1 mL CF₃COOH (trifloroasetik asit) ilavesi yapılarak asidik ortamındaki UV-görünür bölge spektrumları kaydedilmiştir. Benzer şekilde, küvete alınan her bir çözeltiye ve saf çözücü üzerine yakla 1 mL (CH₃CH₂)₃N (trietilamin) ilave edilerek bazik ortamındaki UV-görünür bölge spektrumları kaydedilmiştir. Nötr, asidik ve bazik ortamda kaydedilen spektrumlardan ^{max} de erlerine karılık gelen absorbans de erleri okunmuştur.

Keto-amin formuna ait olan 400 nm üzerindeki absorpsiyonlar (n-π*) ve fenol-imin formuna ait olan 270-350 nm arasındaki iddelli absorpsiyonlar (π-π*) okunarak keto-amin tautomer yüzdesi e itlik (1) kullanılarak hesaplanmıştır (Hayvalı ve ark., 2003).

i. Optimizasyon hesapları;

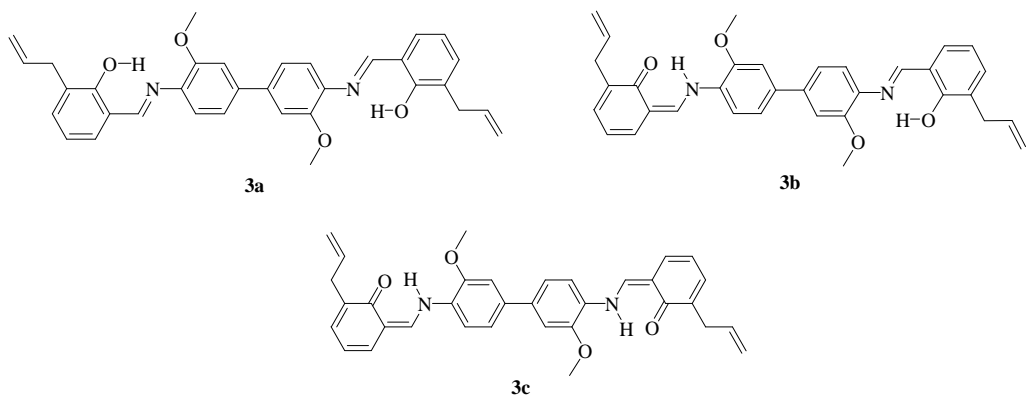
Metot: DFT (B3LYP) Temel set: 6-311++G(d,p) ile yapıldı (rb3lyp/6-311++g(d,p)).

ii. Frekans hesapları;

Gaz fazı için; Metot: DFT (B3LYP) Temel set: 6-311++G(d,p) ile hesaplamaları yapıldı (rb3lyp/6-311++g(d,p)).

Sıvı fazı için; Metot: DFT (B3LYP) Temel set: 6-311++G(d,p) ile hesaplamaları yapıldı (rb3lyp/6-311++g(d,p) scrf=(iefpcm,solvent=dms)).

Simetrik bir 2-hidoksi Schiff bazı olan bile ik (3)'ün olası fenol-imin ve keto-amin formlarının optimize yapıları (ekil 2) gaz ve çözücü fazlarındaki (DMSO, asetonitril, aseton, etilasetat, THF, CHCl₃ ve benzen) toplam elektronik ve termal serbest enerjileri (SETFE: Sum of electronic and thermal Free Energies), UV-görünür bölgedeki uyarılma (excitation) enerjileri ve ossillator kuvvetleri (f) hesaplanmıştır.



ekil 2. Bile ik (3)'ün fenol-imin ve keto-amin tautomer formlarının geometrileri

3. SONUÇLAR ve TARTI MA

3.1. Bile ik (3)'ün sentezi

Çalışmamızda, o-dianisidin (**2**) ile 3-allilsalisilaldehitin (**1**) reaksiyonundan 2-allil-6,6'-(3,3'-dimetoksi[1,1'-bifenil]-4,4'-diyil)bis(nitrilometiliden)]bis-fenol (**3**) bile ikinin sentezi için hem geleneksel ısıtma (**Yöntem A**) hem de mikrodalga-1 inlama yöntemi (MW) (**Yöntem B**) kullanılmış ve iki yöntem reaksiyon koşulları ve ürün verimleri açısından karla tırtılıdır (Tablo 1).

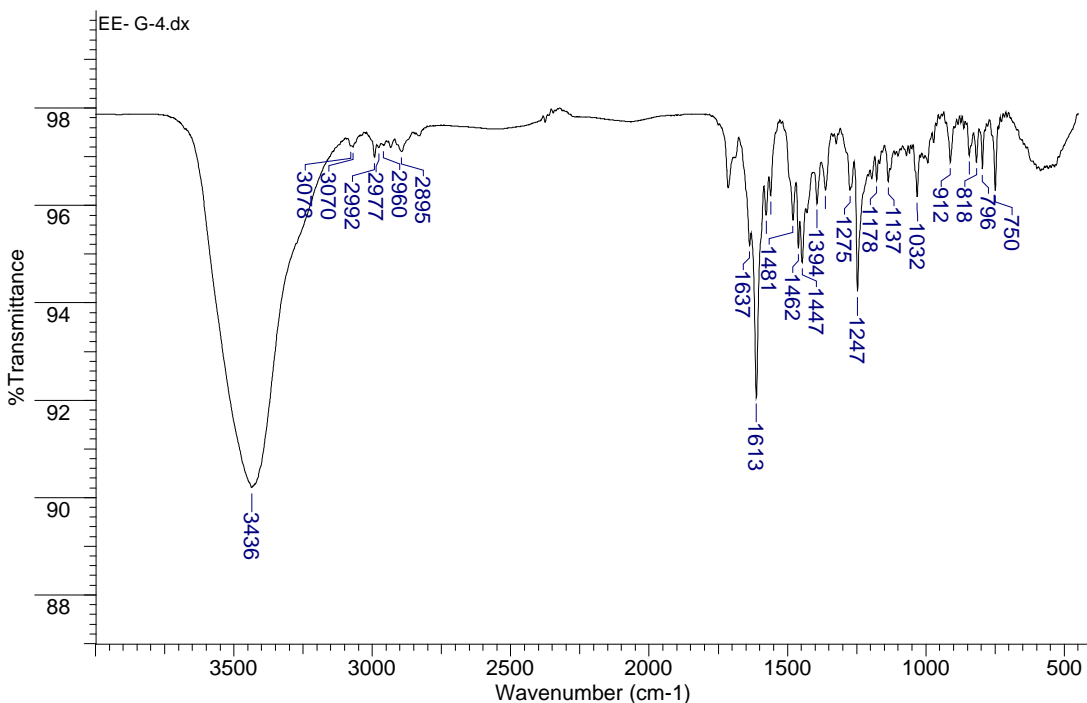
Tablo 1. Bile ik (**3**)'ün iki farklı yolla sentezi.

Yöntem	Reaksiyon koşulu	Sıcaklık (°C)	Süre	Verim (%)
A	Mikrodalga-1 inlama	50	10 dk	80
B	Geleneksel ısıtma	78	48 saat	75

Tablo 1.'deki deneySEL bulguların görüldüğü gibi, geleneksel yöntemde reaksiyon karımı etanolün kaynama noktasında (78 °C) ısıtılırken, mikrodalga-1 inlama yönteminde daha ılıman koşullar uygulanarak reaksiyon karımı 50 °C sıcaklıkta ısıtıldı. Bu koşullardaki reaksiyon sürelerini karşılaştırmak ırmızıda, geleneksel yöntem ile reaksiyon süresi 48 saat olarak belirlenirken, mikrodalga destekli senteze reaksiyon 10 dakika gibi oldukça kısa bir sürede tamamlanmışdır. Ayrıca mikrodalga-1 inlama yöntemi ile sentez i lemi sonunda bile ik (**3**) daha iyi verimde (%80) elde edilmişdir. Bu sonuçlardan görüldüğü gibi, bile ik (**3**)'ün sentezi için mikrodalga-1 inlama yöntemi oldukça avantajlı bir sentez teknigidir. Bu yöntem ile Schiff bazlarının sentezi daha kısa zamanda tamamlandı ve için endüstriyel üretimlerine de uygundur. Mikrodalga-1 inlama ile sentez sadece kısa reaksiyon sürelerine yol açtı ve için de il, aynı zamanda yüksek verimde ürünlerle sonuçlandı ve için de yararlıdır (Corsaro ve ark., 2004).

3.2. Bile ik (**3**)'ün Karakterizasyonu

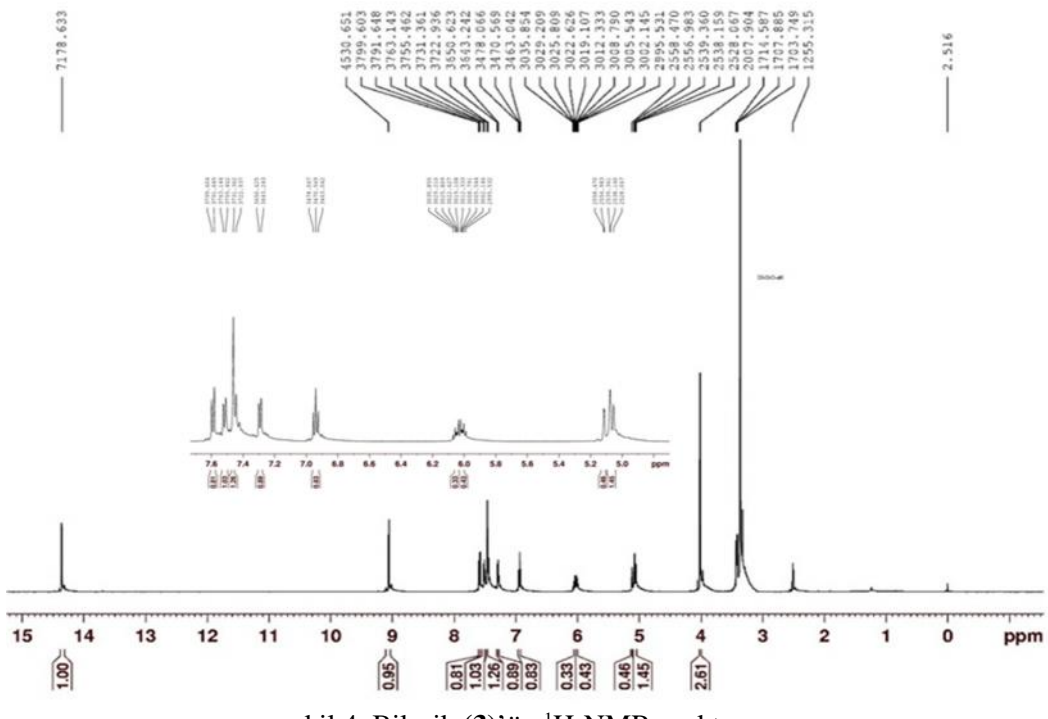
Bile ik (**3**)'ün FTIR spektrumu ekil 3'de verilmiştir. Bile ik (**3**)'in FTIR spektrumunda 3436 cm⁻¹'de gözlenen pik bile ik (**3**)'in fenolik hidroksil grubuna ait titreşim bandıdır. Bu bandın keskin ve iddetli bir şekilde ortaya çıkması, katı fazda hidroksil grubu ile imin azotu arasında bir molekül içi hidrojen bağı oluşturduğuını göstermektedir (Bellamy 1966, Hayvalı ve ark., 2003). Aromatik C-H titreşimlerine ait bant ise 3070 cm⁻¹ de ortaya çıkarken, alifatik C-H titreşimlerine ait zayıf titreşim bantları 2977-2960 cm⁻¹ bölgesinde gözlenmemiştir. Bile ik (**3**)'in C=N bağına ait titreşim bandı spektrumda 1613 cm⁻¹ de iddetli keskin bir pik eklende ortaya çıkmaktır ve bu bandın varlığı o-dianisidin ile 3-allilsalisilaldehit arasındaki kondensasyon reaksiyonu sonunda azometin (-CH=N) yapısının meydana geldiğini kanıtlamaktadır. 1595 cm⁻¹ de gözlenen pik aromatik C=C titreşimlerini, 1247 cm⁻¹ deki gelen pik ise Ar-O-C eter titreşimlerine ait FTIR bantlarıdır.



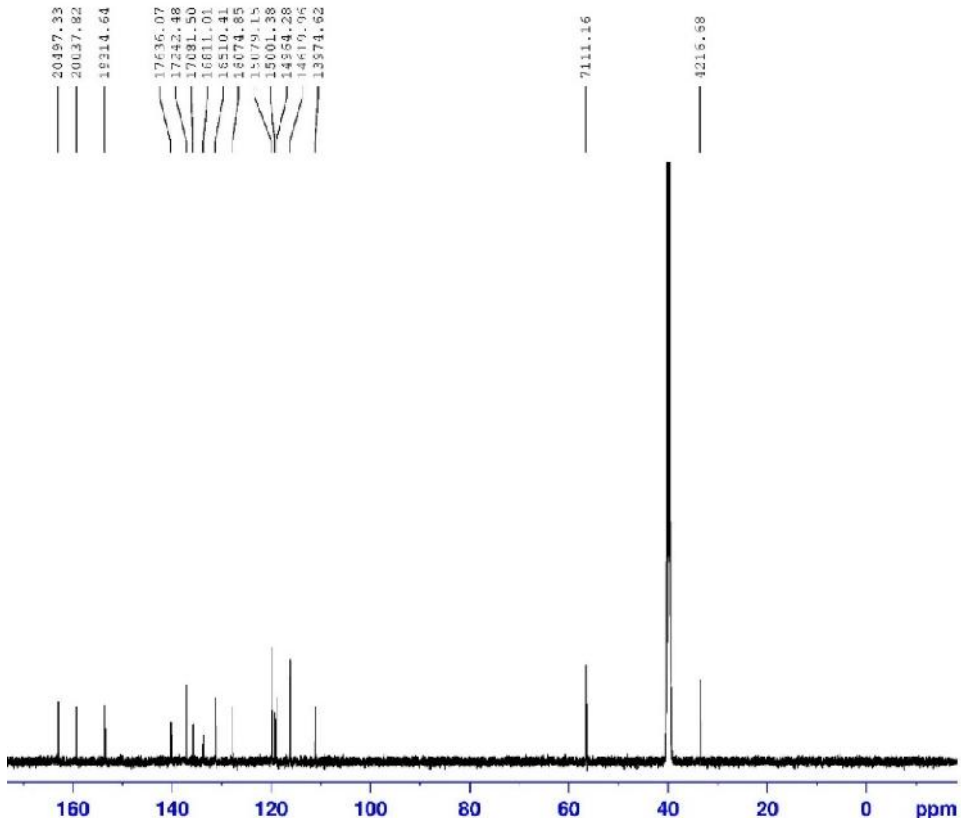
ekil 3. Bile ik (3)'ün FTIR spektrumu.

Bile ik (3)'ün ^1H -NMR spektrumu ekil 4'de verilmiştir. ^1H -NMR spektrumunda, aromatik $-\text{OH}$ protonlarına ait sinyal 14,35 ppm'de kaydedilmiştir. Bile ikteki azometin ($-\text{CH}=\text{N}$) protonu 9,06 ppm'de ortaya çıkmıştır. Aromatik halka üzerinde bulunan ve e de er olmayan protonlara ait sinyaller sırasıyla, 7,59 ($^3\text{J}=7,95$ Hz, d, 2H); 7,51 ($^3\text{J}=7,68$ Hz, d, 2H); 7,46-7,44 (bozulmuş d, 4H); 7,29 ($^3\text{J}=7,38$ Hz, d, 2H); 6,94 ($^3\text{J}=7,52$ Hz, t, 2H) eklinde gözlenmemiştir. Bile ikteki allil grubunun ($-\text{CH}_2-\text{CH}=\text{CH}_2$) varlığını kanıtlayan sinyaller 6,07-5,99 (m, 2H); 5,11-5,05 (m, 4H) ve 3,43-3,40 (m, 4H) olarak gözlenmemiştir. Vinilik $=\text{C}-\text{H}$ ($\text{CH}_2-\text{CH}=\text{CH}_2$) protonu çoklu e le melerden dolayı çoklu bir pik eklinde 6,07-5,99 ppm arasında, vinilik $-\text{CH}_2$ ($\text{CH}_2-\text{CH}=\text{CH}_2$) protonları ise 5,11-5,05 ppm'de çoklu yarılma eklinde ortaya çıkmıştır. Allilik $-\text{CH}_2$ ($\text{CH}_2-\text{CH}=\text{CH}_2$) protonları da çoklu e le melerden dolayı 3,43-3,40 ppm'de DMSO- d_6 sinyali civarında çoklu pik eklinde gözlenmemiştir. Bile ik (3)'ün ekil

5'deki ^{13}C -NMR spektrumunda, 163,97 ppm'de gözlenen sinyal azometin ($-\text{CH}=\text{N}$) karbonuna aittir. 33,73 ppm'de ortaya çıkan sinyal allilik $-\text{CH}_2$ karbonuna, 56,88 ppm'deki pik metoksi ($-\text{OCH}_3$) karbonuna aittir. Bile ik (3)'ün ^{13}C -NMR spektrumundaki di er sinyallerin (160,30; 154,51; 141,08; 137,93; 136,65; 134,48; 132,08; 128,59; 120,63; 120,01; 119,71; 116,95; 111,79) de yapısı ile uyumlu olduğunu gözlenmemiştir.



ekil 4. Bile ik (3)'ün ^1H -NMR spektrumu



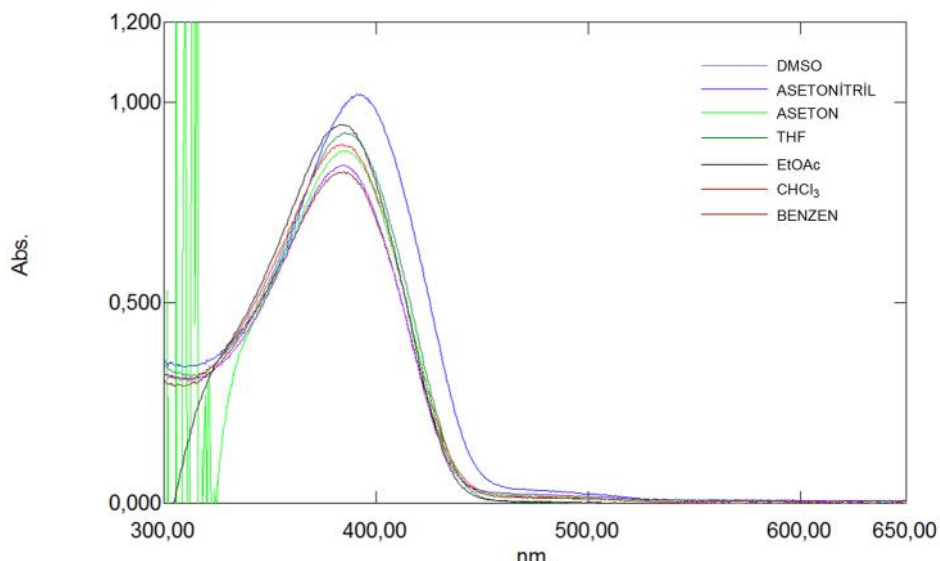
ekil 5. Bile ik (3)'ün ^{13}C -NMR spektrumu

Ayrıca bile ik (3)'ün element analiz sonuçları da hesaplanan teorik sonuçlar ile uyumludur ve yapıyı desteklemektedir (hesaplanan C: 76,67; H: 6,06; N: 5,26; O: 12,02; bulunan C: 76,20; H: 5,709; N: 5,418).

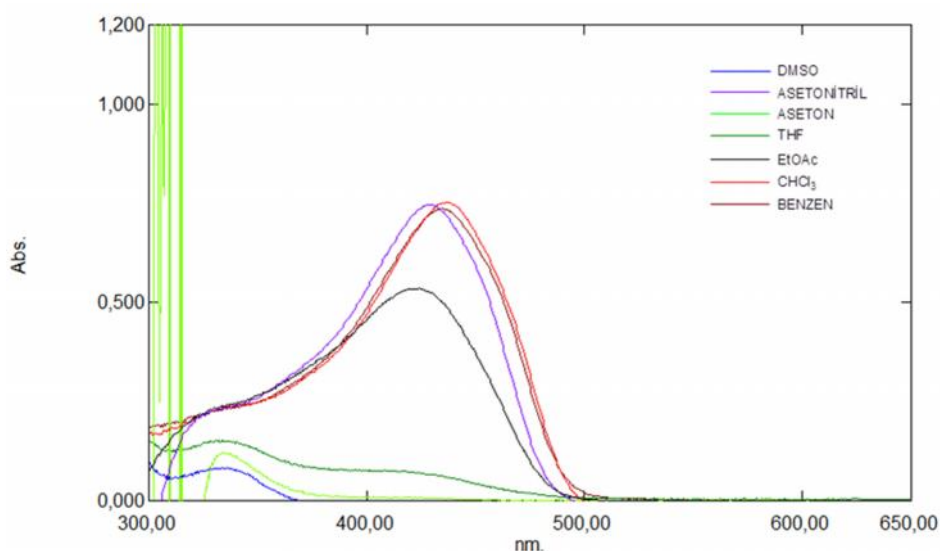
3.3.Bile ik (3)'ün Tautomer Hesabı

Bile ik (3)'ün fenol-imin ve keto-amin tautomer dengesi UV-görünür bölge spektrofotometrik yöntem kullanılarak incelenmiştir. UV-görünür bölge spektrumları

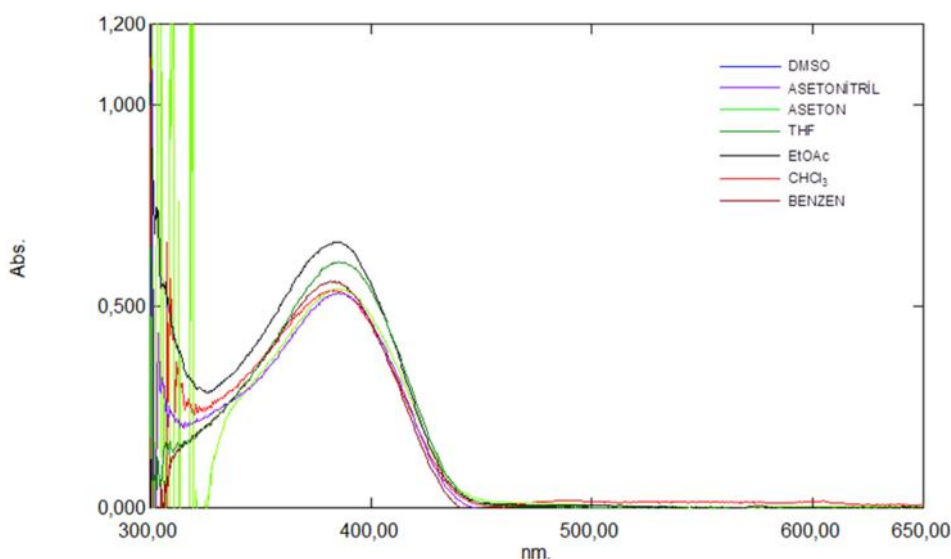
aseton, asetonitril, benzen, CHCl_3 , DMSO, etilasetat ve THF gibi organik çözücülerin saf çözücü, asidik çözelti ve bazik çözelti ortamlarında, oda sıcaklığında kaydedilmiştir. Bile ik (3) için farklı çözüclülerde ve bu çözüclülerin asidik ve bazik çözeltilerinde kaydedilen UV-görünür bölge spektrumları sırasıyla ekil 6, ekil 7 ve ekil 8'de verilmiştir.



ekil 6. Bile ik (3)'ün farklı çözüclülerdeki UV-görünür bölge spektrumu ($C=2 \times 10^{-5} \text{ M}$).



ekil 7. Bile ik (3)'ün çözüclülerin asidik çözeltilerindeki UV-görünür bölge spektrumu ($C=2 \times 10^{-5} \text{ M}$).



ekil 8. Bile ik (3)'ün çözücülerin bazik çözeltilerindeki UV-görünür bölge spektrumu ($C=2 \times 10^{-5}$ M).

Tablo 2'de bile ik (3)'ün saf çözücüde, asidik çözeltide ve bazik çözeltide ölçülen λ_{\max} ve absorbans değerleri verilmiştir.

Tablo 2. Bile ik (3)'ün saf çözücüde, asidik çözeltide ve bazik çözeltideki λ_{\max} ve absorbans değerleri.

Bile ik	Çözücü	λ_{\max} (nm) (Absorbans)		
		Saf çözücü	Asidik ortam	Bazik ortam
3	DMSO	391,00 (A=1,021) 279,00 (A=0,402)	336,00 (A=0,083) 291,50 (A=0,138)	Ölçülemedi
	Asetonitril	385,00 (A=0,843) 285,50 (A=0,379)	427,50 (A=0,746)	385,00 (A=0,534)
	Aseton	385,50 (A=0,879)	334,50 (A=0,122)	385,00 (A=0,544)
	THF	385,00 (A=0,925) 275,00 (A=0,444)	408,50 (A=0,077) 334,00 (A=0,153) 285,50 (A=0,217)	385,50 (A=0,609)
	Etilasetat	384,50 (A=0,944)	424,00 (A=0,534) 325,48 (A=0,225)	383,50 (A=0,659)
	CHCl₃	384,50 (A=0,895) 275,50 (A=0,426)	436,50 (A=0,752) 288,00 (A=0,224)	384,50 (A=0,540)
	Benzen	385,00 (A=0,826) 275,50 (A=0,426)	434,50 (A=0,735) 289,50 (A=0,204)	381,50 (A=0,562)

Bile ik (3)'ün DMSO, asetonitril, aseton, etilasetat, THF, CHCl₃ ve benzen içerisindeki saf çözücü ortamında ve bazik çözeltilerinde alınan UV-görünür bölge spektrumlarda yaklaşık 380-391 nm aralığında gözlenen bantlar C=N grubunun - * geçi lerine, 400 nm üzerindeki bantlar ise C=O grubunun n- * geçi lerine aittir (Hayvalı ve ark. 2003, Bilge ve ark. 2009). Bile ik (3)'ün saf çözümlerde ve bazik çözeltilerinde 400 nm üzerinde bir bant gözlenmedi için seçilen çözümlerde fenol-imin formunda olduğunu görülmüştür. Di er taraftan, asetonitril, etilasetat, CHCl₃ ve benzenin asidik

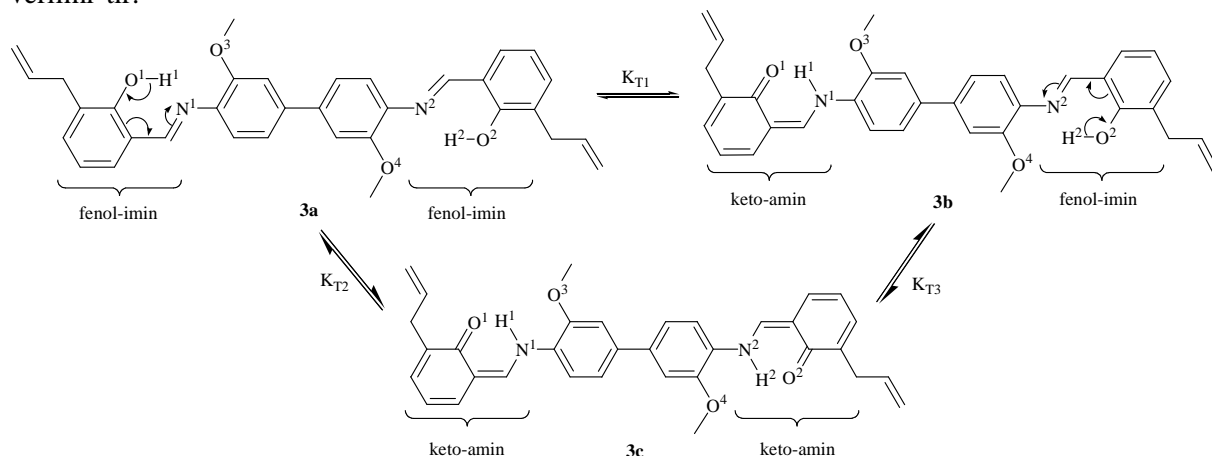
çözeltilerinde 424-436,50 nm arasında gözlenen bantlar, bu çözümlerin asidik çözeltilerinde bile ik in keto-amin formunun da bulunduğuunu göstermektedir. Asetonitril ve etilasetatın asidik çözeltilerinde fenol-imin formuna ait 275-350 nm aralığında bir λ_{\max} de eri gözlenmediği için keto-amin tautomer yüzdesi deneyel olaraq hesaplanamamıştır. CHCl₃'un asidik çözeltisinde % 78,66, benzenin asidik çözeltisinde ise % 78,27 keto-amin tautomeri hesaplanmıştır (Tablo 3). Di er çözeltilerde bile ik (3)'ün keto-amin tautomer formu göstermediği gözlenmemiştir.

Tablo 3. Bile ik (3)'ün saf çözücüde, asidik çözeltide ve bazik çözeltideki λ_{\max} (absorbans) de erleri ve keto-amin tautomer yüzdeleri.

Bile ik	Çözücü	λ_{\max} (nm) (Absorbans)	% Keto-amin tautomer		
			Saf çözücü	Asidik ortam	Bazik ortam
3	DMSO	391,00 (A=1,021) 336,00 (A=0,083) Ölçülemedi	-	-	-
	Asetonitril	385,00 (A=0,843) 427,50 (A=0,746) 385,00 (A=0,534)	-	-	-
	Aseton	385,50 (A=0,879) 334,50 (A=0,122) 385,00 (A=0,544)	-	-	-
	THF	385,00 (A=0,925) 334,00 (A=0,153) 385,50 (A=0,609)	-	-	-
	Etilasetat	384,50 (A=0,944) 424,00 (A=0,534) 383,50 (A=0,659)	-	-	-
	CHCl ₃	384,50 (A=0,895) 436,50 (A=0,752); 288,00 (A=0,224) 384,50 (A=0,540)	-	78,66	-
	Benzen	385,00 (A=0,826) 434,50 (A=0,735); 289,50 (A=0,204) 381,50 (A=0,562)	-	78,27	-

3.4. Bile ik (3)'ün Teorik Hesaplama Sonuçları

Bile ik (3)'ün olası fenol-imin ve keto-amin formlarının yapıları (**3a**, **3b** ve **3c**) ekil 9' da verilmi tir.



ekil 9. Bile ik (3)'ün olası tautomer formları.

Simetrik bir bis-imin bile i i olan bile ik (3)'ün ekil 9' da verilen **3a**, **3b** ve **3c** yapılarının gaz ve çözücü fazlarındaki (DMSO, asetonitril, aseton, etilasetat, THF, CHCl₃ ve benzen) toplam elektronik ve termal serbest enerjileri (SETFE) hesaplandı ve hesaplama sonuçları Tablo 4' de verilmi tir. Ayrıca, fenol-imin/fenol-imin \rightleftharpoons keto-amin/keto-amin (K_{T2}), fenol-imin/fenol-imin \rightleftharpoons keto-amin/ fenol-imin (K_{T1}) ve keto-amin/ fenol-imin \rightleftharpoons keto-amin/keto-amin (K_{T3}) dengeleri için K_T de erleri de hesaplanmı tir.

Tablo 4. Bile ik (3)'ün 3a, 3b ve 3c tautomer formları için elde edilen hesaplama sonuçları.

Ortam	^a SETFE (kcal/mol)			K _T			^e V
	3a	3b	3c	^b K _{T2}	^c K _{T1}	^d K _{T3}	
Gaz fazi	-1082253,600	-1082244,737	-1082244,976	8,624	8,863	-0,238	0
Benzen	-1082253,600	-1082252,261	-1082251,641	1,959	1,339	0,620	2,28
CHCl ₃	-1082252,925	-1082257,206	-1082257,131	-4,206	-4,281	0,075	4,81
Etilasetat	-1082254,858	-1082257,074	-1082257,294	-2,436	-2,216	-0,220	6,02
THF	-1082254,370	-1082256,501	-1082256,603	-2,233	-2,131	-0,102	7,52
Aseton	-1082256,045	-1082258,468	-1082259,122	-3,077	-2,423	-0,654	21,01
Asetonitril	-1082256,464	-1082258,962	-1082259,915	-3,451	-2,497	-0,954	36,64
DMSO	-1082256,600	-1082259,122	-1082260,238	-3,638	-2,522	-1,116	47,00

^aSETFE: Toplam elektronik ve termal serbest enerji

$$\text{b}K_{T2} = \text{SETFE}_{(3c)} - \text{SETFE}_{(3a)} \quad (\text{fenol-imin/fenol-imin} \rightleftharpoons \text{keto-amin/keto-amin}) \quad (2)$$

$$\text{c}K_{T1} = \text{SETFE}_{(3b)} - \text{SETFE}_{(3a)} \quad (\text{fenol-imin/fenol-imin} \rightleftharpoons \text{keto-amin/ fenol-imin}) \quad (3)$$

$$\text{d}K_{T3} = \text{SETFE}_{(3c)} - \text{SETFE}_{(3b)} \quad (\text{keto-amin/ fenol-imin} \rightleftharpoons \text{keto-amin/keto-amin}) \quad (4)$$

^e ϵ : https://www.organicdivision.org/orig/organic_solvents.html

3a, 3b ve 3c için gaz fazında belirlenen toplam elektronik ve termal serbest enerjileri (SETFE) karıla tırıldıında 3a'nın enerjisi daha küçük oldu undan, 3b ve 3c'ye göre daha kararlı oldu u görülmektedir. Bu nedenle bile ik (3) için hiçbir moleküller arası etkile imin gözlenmedi i gaz fazında, fenol-imin/fenol-imin formunun kararlı oldu u gözlenmi tir. E itlik (2)'deki (fenol-imin/fenol-imin \rightleftharpoons keto-amin/keto-amin) dengesi için hesaplanan K_T de eri 8,624' dür. Di er taraftan, 3a'nın farklı polaritedeki çözücülerde belirlenen toplam elektronik ve termal serbest enerjileri (SETFE) karıla tırıldıında, benzen di indaki di er çözücülerde 3c'nin daha düük enerjiye sahip oldu u, dolayısıyla 3a'ya göre daha kararlı oldu u gözlenmi tir. Seçilen çözücüler içerisinde benzen için yapılan hesaplamalar gaz fazı sonuçlarıyla uyum göstermektedir. Yani bile ik (3), hem gaz fazında hem de benzen fazında fenol-imin/fenol-imin formunda (3a) kararlıken, di er çözücülerde (CHCl₃, etilasetat, THF, aseton, asetonitril ve DMSO) keto-amin/keto-amin formunun (3c) belirli oranlarda kararlı oldu u gözlenmi tir. Bu çözücülerdeki (fenol-imin/fenol-imin \rightleftharpoons keto-amin/keto-amin) dengesi için hesaplanan ve -2,233 ile -4,206 kcal/mol arasında de i en K_T de erleri de bu sonucu desteklemektedir. Çözücülerin dielektrik () sabitlerine bakılacak olursa, en

düük olan benzendir ve dolayısıyla polaritesi di er çözücülere göre düükür. Bu durumda benzen fazında moleküller arası etkile imler daha zayıf olaca indan, gaz fazında oldu u gibi fenol-imin/fenol-imin formunun keto-amin/keto-amin formuna dönüümü gözlenmemi tir. Di er çözücüerde ise, bile ik (3) ile çözücü molekülleri arasındaki etkile imin daha etkin olması nedeniyle, keto-amin/keto-amin formunun K_T de erlerinin -2,233 ile -4,206 arasındaki oranlarda oldu u gözlenmi tir (Tablo 4).

Tablo 5. 3a, 3b ve 3c tautomerlerinin olası H- ba 1 uzunlukları için hesaplama sonuçları.

Reaksiyon	H-Ba 1 (Å)			
	H ¹ -N ¹	H ¹ -O ³	H ² -N ²	H ² -O ⁴
Form A	1,681	2,711	1,681	2,728
Form B	H ¹ -O ¹	H ¹ -O ³	H ² -N ²	H ² -O ⁴
	1,760	2,212	1,681	2,721
Form C	H ¹ -O ¹	H ¹ -O ³	H ² -O ²	H ² -O ⁴
	1,739	2,286	1,756	2,212

3a, **3b** ve **3c** tautomerleri için O-H...N grupları ve O-H...OCH₃ grupları arasındaki olası H-ba ı uzunlukları da hesaplanmıştır (Tablo 5). Hesaplama sonuçları de erlendirildi inde en kuvvetli H-ba inin, fenol-imin/fenol-imin tautomerini temsil eden **3a** için H¹-N¹ ve H²-N² arasında oldu u gözlenmiştir. Keto-amin/ fenol-imin tautomerini gösteren **3b**'de H¹-O¹ ba ı 1,760 Å, H²-N² ba ı 1,681 Å iken, keto-amin/keto-amin tautomerini temsil eden **3c**'de H¹-O¹ ba ı 1,739 Å, H²-O² ba ı ise 1,756 Å'dür. Dolayısıyla hesaplama sonuçlarına göre, en kuvvetli H-ba lanmasının görüldü ü **3a**, **3b** ve

3c'ye göre en kararlı tautomerdir. **E itlik** (2)'deki (fenol-imin/fenol-imin \rightleftharpoons keto-amin/keto-amin) dengesi için hesaplanan K_{T2} de eri de bu sonuç ile uyumludur (8,624, Tablo 4).

Di er taraftan, DFT yöntemiyle bile ik (3)'ün seçilen organik çözücülerde UV-görünür bölge }_{max} de erleri ve ossillatör kuvvetleri (f) de hesaplanmıştır (Tablo 6) ve hesaplar deneysel sonuçlar ile kar ila tırılmıştır.

Tablo 6. **3a**, **3b** ve **3c** tautomerleri için deneysel ve hesaplanmı UV-görünür bölge }_{max} de erleri ve hesaplanmı ossillatör kuvveti (f) sonuçları.

Bile ik	Çözücü	Deneysel } _{max} (nm) A (absorbans)	Hesaplama sonucu	
			} _{max} (nm)	Ossillatör kuvveti (f)
3a	Gaz	-	408,880	1,498
	DMSO	391,00 (A=1,021) 279,00 (A=0,402)	414,880	1,713
	Asetonitril	385,00 (A=0,843) 285,50 (A=0,379)	413,760	1,692
	Aseton	385,50 (A=0,879)	414,040	1,697
	THF	385,00 (A=0,925) 275,00 (A=0,444)	414,950	1,712
	Etilasetat	384,50 (A=0,944)	405,920	1,533
	CHCl₃	384,50 (A=0,895) 275,50 (A=0,426)	415,740	1,724
	Benzen	385,00 (A=0,826) 275,50 (A=0,426)	417,140	1,736
3b	Gaz	-	461,400	0,918
	DMSO	-	460,740	1,246
	Asetonitril	-	459,180	1,231
	Aseton	-	459,800	1,228
	THF	-	461,990	1,216
	Etilasetat	-	448,930	1,102
	CHCl₃	-	463,910	1,205
	Benzen	-	468,200	1,165
3c	Gaz	-	483,380	0,950
	DMSO	-	478,150	1,398
	Asetonitril	-	476,740	1,374
	Aseton	-	477,430	1,373
	THF	-	479,910	1,365
	Etilasetat	-	467,660	1,180
	CHCl₃	-	482,080	1,357
	Benzen	-	487,090	1,317

Tablo 6'dan görüldü ü gibi bile ik (3)'ün saf çözücü ortamında deneysel olarak ölçülen UV-görünür bölge spektrumlarında maksimum absorpsiyonu asetonitril, aseton, THF, etilasetat, CHCl_3 ve benzende yakla ik 385 nm' de ortaya çıkarken, DMSO de 391 nm' de gözlenmi tir. 400 nm ve üzerinde bir absorpsiyon gözlenmedi i için deneysel olarak bile ik (3)'ün fenol-imin/fenol-imin tautomerini temsil eden 3a yapısında oldu u bulunurken, bu sonuçların teorik hesaplama sonuçlarıyla örtü medi i görülmü tür. Bile ik (3) için deneysel ve teorik λ_{\max} sonuçları arasında bir korelasyon gözlenmedi i sonucuna varılmıştır (Tablo 6).

4. SONUÇ ve DE ERLEND RME

Bu çalışmadan, 2-allil-6,6'-[(3,3'-dimetoksi[1,1'-bifenil]-4,4'-diyil)bis(nitrilometiliden)]bis-fenol (3) bile i inin sentezi hem geleneksel ısıtma (**Yöntem A**) hem de mikrodalga-1 inlama yöntemi (**Yöntem B**) ile iyi verimlerde gerçekleş tirilmiş tir ve kimyasal yapısı karakterize edilmişdir.

Deneysel olarak, bile ik (3)'ün saf çözücülerde ve bazik çözeltilerinde fenol-imin formunda bulundu u, asetonitril, etilasetat, CHCl_3 ve benzenin asidik çözeltilerinde ise bile i in keto-amin formunda dönü ümün baskın oldu u görülmü tür. Bile ik (3) için CHCl_3 'un asidik çözeltisinde %78,66, benzenin asidik çözeltisinde ise %78,27 keto-amin tautomeri hesaplanmıştır (Tablo 3). Hesaplanan toplam elektronik ve termal serbest enerji (SETFE) de erlerine göre, bile ik (3)'ün hem gaz fazında hem de benzen fazında fenol-imin/fenol-imin formunda (3a) kararlıken, di er çözücülerde (CHCl_3 , etilasetat, THF, aseton, asetonitril ve DMSO) keto-amin/keto-amin formunda (3c) belirli oranlarda kararlı oldu u gözlenmiştir. Bile ik (3) için bulunan deneysel ve teorik λ_{\max} de erlerinin bir korelasyon göstermedi i belirlenmiştir.

TE EKKÜR

Bu çalışma, 1102F026 numaralı ve "Ba langış maddeleri olarak Schiff bazlarının kullanıldığı yeni formazan türevlerinin sentezi, yapı tayinleri ve tautomerik özelliklerinin incelenmesi" başlıklı Anadolu Üniversitesi Bilimsel Ara tırma Projeleri Komisyonu tarafından desteklenen projenin bir parçasıdır.

Teorik hesaplamalar Anadolu Üniversitesi Bilimsel Ara tırma Proje Birimi tarafından desteklenen 1102F027 numaralı proje kapsamında alınan i istasyonu ve Gaussian 09 programı kullanılarak yapıldı.

NMR analizleri için AÜB BAM Müdürlüğü ü'ne te ekkür ederiz.

5. KAYNAKLAR

- Aghayan, M. M., Ghassemzadeh, M., Hoseini, M. & Bolourchian, M. (2003). Microwave Assisted Synthesis of The Tetradentate Schiff Bases under Solvent Free-and Catalyst free Condition. *Synthetic Communications* 33, 521-525.
- Aghera, V. K., Ghumara, R.Y., ve Parsania, P. H. (2015). Microwave Assisted and Classical Synthesis of Symmetric double Schiff Bases of 1,1-bis(4-mino3-methylphenyl)cyclohexane and Their Antimicrobial Assay. *Journal of Scientific Industrial Research* 74, 43-47.
- Ahmed, I.S., Kassem, M.A. (2010). Synthesis, Solvatochromicity and Bioactivities of Some Transition Metal Complexes with 2-(R-benzylideneamino)-pyridin-3-ol Schiff Base Derivatives. *Spectrochimica Acta Part A* 77, 359–366.
- Annaraj, B., Pan, S., Neelakantan, M. A., Chattaraj, P. K. (2014). DFT Study On The Ground State and Excited State Intramolecular Proton Transfer of Propargyl Arm Containing Schiff Bases in Solution and Gas Phases. *Computational and Theoretical Chemistry* 1028, 19-26.
- Ayoubi, S. A.-E., Texier-Boullet, F., Hamelin, J. (1994). Minute Synthesis of Electrophilic Alkenes under Microwave Irradiation. *Synthesis* 258-260.
- Bellamy, L. J. (1966). *Infrared Spectra of Complex Molecules*, Wiley, New York.
- Bilge, S., Kılıç, Z., Hayvalı, Z., Hökelek, T. ve Safran, S. (2009). Intramolecular Hydrogen Bonding and Tautomerism in Schiff Bases: Part VI. Syntheses and Structural Investigation of Salicylaldimine and Naphthalaldimine Derivatives. *Journal of Chemical Sciences* 121 (6), 989–1001.

- Bose, D. S., Jayalakshmi, B. J. (1999). Reagents for organic synthesis: Use of Organostannyl Oxides As Catalytic Neutral Agents in The Preparation of Nitriles from Primary Amides under Microwave Irradiation. *Journal of Organic Chemistry* 64 (5), 1713-1714.
- Cohen, M. D., Schmidt, G. M. J., Flavian, S. (1964). Topochemistry. Part VI. Experiments on photochromy and thermochromy of crystalline anils of salicylaldehydes. *Journal of the Chemical Society* 2041–2051.
- Corsaro, A.; Chiacchio, U.; Pistara, V. ve Romeo, G. (2004). Microwave-assisted chemistry of carbohydrates. *Current Organic Chemistry* 8(6), 511-538.
- CS ChemOffice Pro for Microsoft Windows.
- Demircio lu, Z., Albayrak, Ç., Büyükgüngör, O. (2014a). Theoretical and experimental investigation of (E)-2-([3,4-dimethylphenyl]imino)methyl)-3-methoxyphenol: Enol–keto tautomerism, spectroscopic properties, NLO, NBO and NPA analysis. *Journal of Molecular Structure* 1065-1066, 210–222.
- Demircio lu, Z., Albayrak, Ç., Büyükgüngör, O. (2014b). Experimental (X-ray, FT-IR and UV-vis spectra) and Theoretical Methods (DFT study) of (E)-3-methoxy-2-[(p-tolylimino)methyl]phenol. *Spectrochimica Acta Part A: Molecular and Biomolecular Spectroscopy* 128, 748–758.
- Devaraj, S., Tsui, Y., Chiang, C., Yen, Y. (2012). A New Dual Functional Sensor: Highly Selective Colorimetric Chemosensor for Fe³⁺ and Fluorescent Sensor for Mg²⁺. *Spectrochimica Acta Part A: Molecular and Biomolecular Spectroscopy* 96, 594–599.
- Dürr, H. ve Bouas-Laurent, H. (1990). *Photochromism: Molecular and Systems* (Amsterdam: Elsevier).
- Eshtiagh-Hosseini, H., Beyramabadi, S. A., Morsali, A., Mirzaei, M., Chegini, H., Elahi, M., Naseri, M. A. (2014). Synthesis, Characterization and Intramolecular Proton Transfer of 3,30-dihydroxy-4,40-[5-methyl-1,3-phenylenebis(nitrilomethylidyne)]-bis-phenol. *Journal of Molecular Structure* 1072, 187–194.
- Gaussian 09, (2009). Revision B.01. M.J. Frisch. G.W. Trucks. H.B. Schlegel. G.E. Scuseria. M.A. Robb. J.R. Cheeseman. G. Scalmani. V. Barone. B. Mennucci. G.A. Petersson. H. Nakatsuji. M. Caricato. X. Li. H.P. Hratchian. A.F. Izmaylov. J. Bloino. G. Zheng. J.L. Sonnenberg. M. Hada. M. Ehara. K. Toyota. R. Fukuda. J. Hasegawa. M. Ishida. T. Nakajima. Y. Honda. O. Kitao. H. Nakai. T. Vreven. J.A. Montgomery Jr. J.E. Peralta. F. Ogliaro. M. Bearpark. J.J. Heyd. E. Brothers. K.N. Kudin. V.N. Staroverov. R. Kobayashi. J. Normand. K. Raghavachari. A. Rendell. J.C. Burant. S.S. Iyengar. J. Tomasi. M. Cossi. N. Rega. J.M. Millam. M. Klene. J.E. Knox. J.B. Cross. V. Bakken. C. Adamo. J. Jaramillo. R. Gomperts. R.E. Stratmann. O. Yazyev. A.J. Austin. R. Cammi. C. Pomelli. J.W. Ochterski. R.L. Martin. K. Morokuma. V.G. Zakrzewski. G.A. Voth. P. Salvador. J.J. Dannenberg. S. Dapprich. A.D. Daniels. O. Farkas. J.B. Foresman. J.V. Ortiz. J. Ciosowski. D.J. Fox. Gaussian Inc.. Wallingford. CT.
- Gedye, R., Smith, F., Westaway, K., Ali, H., Baldisera, L., Laberge, L., Roussel, J. (1986). The use of Microwave Ovens for Rapid Organic Synthesis. *Tetrahedron Letters* 27 (3), 279-282.
- Giguere, R. J., Bray, T. L., Duncan, S. M., Majetich, G. (1986). Application of commercial microwave ovens to organic synthesis. *Tetrahedron Letters* 27 (41), 4945-4958.
- Hadjoudis, E. (1981). Photochromism and Thermochromism of N-salicylideneanilines and N-salicylideneaminopyridines. *Journal of Photochemistry* 17, 355-363.
- Hadjoudis, E., Vitterakis, M., Mavridis, I. M. (1987). Photochromism and Thermochromism of Schiff Bases in the Solid State and in Rigid Glasses. *Tetrahedron* 43, 1345-1360.
- Hayvalı, Z., Hayvalı M., Kılıç, Z., Hökelek, T. and Weber, E. (2003). New Benzo-15-Crown-5 Ethers Featuring Salicylic Schiff Base Substitutions—Synthesis, Complexes and Structural Study. *Journal of Inclusion*

- Phenomena and Macroyclic Chemistry* 45: 285–294.
- Higelin, D. ve Sixl, H. (1983). Spectroscopic Studies of The Photochromism of N-Salicylideneaniline Mixed Crystals and Glasses. *Chemical Physics* 77, 391–400.
- Hökelek, T., Gündüz, N., Hayvalı, Z. ve Kılıç, Z. (1995). Schiff bases and their complexes with metal ions. I. 2-Hydroxy-N-n-propyl-1-naphthaldimine (1) and Bis(2-hydroxy-kO-N-n-propyl-1-naphthaldiminato-kN)nickel(II) (2). *Acta Crystallographica Section C* C51, 880–884.
- Hökelek, T., Bilge, S., Demiriz, .., Özgürç, B., Kılıç, Z. (2004). 1,3-[Bis(N-2-oxyphenylsalicylydene)]propane. *Acta Crystallographica Section C* C60, 803–805.
- https://www.organicdivision.org/orig/organic_solutions.html.
- Jayabharathi, J., Thanikachalam, V., Vennila, M., Jayamoorthy, K. (2012). Physico-chemical Studies of New Luminescent Chemosensor for Cu²⁺. *Spectrochimica Acta Part A: Molecular and Biomolecular Spectroscopy* 96, 677–683.
- Kessisoglu, D. P., Raptopoulou, C. P., Bakalbassis, E. G., Terzis, A. ve Mrozinski, J. (1992). Molybdenum(VI)-Copper(II) Schiff-Base Complexes Having Cu₂Mo₂O₄ Cubane-like Cores. Synthesis, Crystal Structure and Magnetic Properties of [Cu₂Mo₂O₄(SALADHP)₂(MeO)₂. 2CH₃CN]_n [H₃SALADHP] = 1,3-Dihydroxy-2-methyl-2-(salicylideneamino)propane]. *Inorganic Chemistry* 31, 4339–4345.
- Kim, S., Noh, J. Y., Kim, K. Y., Kim, J. H., Kang, H. K., Nam, S., Kim, S. H., Park, S., Kim, C. ve Kim, J. (2012). Salicylimine-Based Fluorescent Chemosensor for Aluminum Ions and Application to Bioimaging. *Inorganic Chemistry* 51, 3597–3602.
- Lamiri, M., Bougrin, K., Daou, B., Souflaoui, M., Nicolas, E., Giralt, E. (2006). Microwaves assisted solvent free regiospecific synthesis of 5-alkylidene and 5-arylidene hydantoins. *Synthetic Communications* 36, 1575–1584.
- Layer, R.W. (1963). The chemistry of imines. *Chemical Reviews* 63, 489–510.
- Lidström, P., Tiemey, J., Wathey, B. ve Westman, J. (2001). Microwave assisted organic synthesis-a review. *Tetrahedron* 57, 9225–9283.
- Loupy, A., Petit, A., Hamelin, I., Texier-Boulet, F., Jacquault, P., Mathe, D. (1998). New solvent free organic synthesis using focused microwaves. *Synthesis* 1213–1234.
- Ogawa, K., Harada, J. (2003). Aggregation controlled proton tautomerization in salicylideneanilines. *Journal of Molecular Structure* 647, 211–216.
- Ohshima, A., Momotake, A., Arai, T. (2004). Photochromism, Thermochromism, and Solvatochromism of Naphthalene-based Analogues of Salicylideneaniline in solution. *Journal of Photochemistry and Photobiology A: Chemistry* 162, 473–479.
- Pandey, A., Dewangan D., Verma, S., Mishra, A., Dubey, R. D. (2011). Synthesis of Schiff bases of 2-amino-5-aryl-1,3,4-thiadiazole and Its Analgesic, Anti-Inflammatory, Anti-Bacterial and Anti-Tubercular Activity. *International Journal of ChemTech Research* 3(1), 178–184.
- Panneerselvam, P., Reddy, R. S., Murali, K., ve Kumar, N. R. (2010). Synthesis, Analgesic, Anti-inflammatory and Antimicrobial Activities of Some Novel Schiff's Bases of 5-subsituted Isatin. *Der Pharma Chemica* 2(1), 28–37.
- Percino, M. J., Cerón, M., Castro, M. E., Ramírez, R., Soriano, G., Chapela, V. M. (2015). (E)-2-[(2-hydroxybenzylidene)amino]phenylarsonic acid Schiff base: Synthesis, Characterization and Theoretical Studies. *Journal of Molecular Structure* 1081, 193–200.
- Schiff, H. (1869). Untersuchungen über salicinderivate. *Annalen der Chemie* 150, 193–200.
- Schwartz, J. B. (2000). *Optimization Techniques in Pharmaceutical Formulation and Processing in Bunker*. 4th Ed. Modern Pharmaceutics, Marcel Dekker, New York, 803–828.

- Sharma, V., Mehta D. K., Bala S., Das R. (2013). A review on biologically active Schiff base derivatives. *International Journal of Universal Pharmacy and Bio Sciences* 2(4), 241-257.
- Sen, S., De, B., Panday, L., Easwari, T. S., Nagarajan, A. S. (2010). Pharmacological Study of Some Newly Synthesized Furan Derivatives. *Der Pharma Chemica* 2(3), 74-82.
- Sıdir, Y. G., Sıdir, I., Berber, H., Türko lu, G. (2014). Solvatochromic Behavior and Electronic Structure of Some Symmetric 2-Aminophenol Schiff Base Derivatives. *Journal of Molecular Liquids* 199, 57–66.
- Somani, R., Pawar, S., Nikam, S., Shirodkar, P., Kadam, V. (2010). Microwave Assisted Synthesis and Antimicrobial Activity of Some Schiff's Bases. *International Journal of ChemTech Research* 2 (2), 860-864.
- Sprung, M. M. (1940). A summary of The Reaction of Aldehydes with Amines. *Chemical Reviews* 26, 297–334.
- Taggi, A. E., Hafez, A. M., Wack, H., Young, B., Ferraris, D., Lectka, T. (2002). The Development of The First Catalyzed Reaction of Ketenes and Imines: Catalytic, Asymmetric Synthesis of -Lactams. *Journal of the American Chemical Society* 124, 6626–6635.
- Varma, R. S. (1999). Solvent Free Organic Syntheses using Supported Reagent and Microwave rradiation. *Green Chemistry* 1, 43–55.
- Yang, L., Zhu, W., Fang, M., Zhang, Q., Li, C. (2013). A New Carbazole-Based Schiff-Base As Fluorescentchemosensor for Selective Detection of Fe^{3+} and Cu^{2+} . *Spectrochimica Acta Part A: Molecular and Biomolecular Spectroscopy* 109, 186–192.
- Yang, Z., Sun, P. (2006). *Compare of Three Ways of Synthesis of Simple Schiff Base*. Molbank M514, 1-3.
- Yang, H., Sun, W., Li, Z. ve Wang, L. (2002). Solvent-free Syntheses of Salicylaldimines Assisted by Microwave Irradiation. *Synthetic Communications* 32 (15), 2395–2402.
- Ye, H., Ge, F., Zhou, Y., Liu, J., Zhao, B. (2013). A new Schiff base fluorescent probe for imaging Cu^{2+} in living cells. *Spectrochimica Acta Part A: Molecular and Biomolecular Spectroscopy* 112, 132–138.
- Yıldız, M., Karpuz, Ö., Zeyrek, C. T., Boyacioglu, B., Dal, H., Demir, N., Yıldırım, N., Unver, H. (2015). Synthesis, Biological Activity, DNA Binding and Anion Sensors, Molecular Structure and Quantum Chemical Studies of A Novel Bidentate Schiff Base Derived from 3,5-bis(trifluoromethyl)aniline and salicylaldehyde. *Journal of Molecular Structure* 1094, 148-160.
- Zhao, J., Zhao, B., Liu, J., Xu, W. ve Wang, Z. (2001). Spectroscopy study on the photochromism of Schiff bases N,N -bis(salicylidene)-1,2-diaminoethane and N,N -bis(salicylidene)-1,6-hexanediamine. *Spectrochimica Acta A* 57 (1), 149-154.